

CLEFIA

Miguel Gaiowski e Douglas Santos

beamerinstitute

2012-06-27 Wed

Introdução

- ▶ CLEFIA é um algoritmo de cifragem de blocos, desenvolvido pela SONY, apresentado em 2007
- ▶ O tamanho do bloco é de 128 bits, enquanto que o tamanho da chave pode ser de 128, 192 ou 256 bits, fazendo com que ele seja compatível com a interface do cifrador AES.
- ▶ CLEFIA foi criado devido ao aumento da demanda por *lightweight cryptography*. *Lightweight cryptography* consiste de mecanismos criptográficos que fornecem segurança para dispositivos com capacidades limitadas, como por exemplo, sensores wireless.
- ▶ Portanto, CLEFIA fornece um alto level de segurança e ainda tem uma elevada performance tanto em software, quanto em hardware.

Introdução

- ▶ Nosso trabalho consiste de implementar o CLEFIA em software, na linguagem C.
- ▶ Foi implementado todas as versões de tamanho de chave (128, 192 e 256 bits)
- ▶ Foi implementado o modo de operação CBC (Cipher-block chaining)
- ▶ Foram realizados testes de cifragens e decifragens de arquivos grandes, utilizando o modo CBC.
- ▶ Os mesmos testes foram realizados com o cifrador AES também no modo CBC, disponível na biblioteca OpenSSL. Dessa forma, foi possível comparar os resultados.

Generalized Feistel Network 4-branch

$\text{GFN}_{4,r}(\text{RK}_0, \dots, \text{RK}_{2r-1}, \mathbf{X}_0, \mathbf{X}_1, \mathbf{X}_2, \mathbf{X}_3)$

Entrada: 32-bit round keys $\text{RK}_0, \dots, \text{RK}_{2r-1}$
32-bit data $\mathbf{X}_0, \mathbf{X}_1, \mathbf{X}_2, \mathbf{X}_3$
Saída: 32-bit data $\mathbf{Y}_0, \mathbf{Y}_1, \mathbf{Y}_2, \mathbf{Y}_3$

Passo 1. $T_0 \mid T_1 \mid T_2 \mid T_3 \leftarrow \mathbf{X}_0 \mid \mathbf{X}_1 \mid \mathbf{X}_2 \mid \mathbf{X}_3$

Passo 2. Para $i = 0$ até $r - 1$ faça:

Passo 2.1. $T_1 \leftarrow T_1 \oplus \text{F0}(\text{RK}_{2i}, T_0),$
 $T_3 \leftarrow T_3 \oplus \text{F1}(\text{RK}_{2i+1}, T_2)$

Passo 2.2. $T_0 \mid T_1 \mid T_2 \mid T_3 \leftarrow T_1 \mid T_2 \mid T_3 \mid T_0$

Passo 3. $\mathbf{Y}_0 \mid \mathbf{Y}_1 \mid \mathbf{Y}_2 \mid \mathbf{Y}_3 \leftarrow T_3 \mid T_0 \mid T_1 \mid T_2$

Generalized Feistel Network 8-branch

$$\text{GFN}_{8,r}(\text{RK}_0, \dots, \text{RK}_{4r-1}, \text{X}_0, \text{X}_1, \dots, \text{X}_7)$$

Entrada : 32-bit round keys $\text{RK}_0, \dots, \text{RK}_{4r-1}$,
32-bit data $\text{X}_0, \text{X}_1, \text{X}_2, \text{X}_3, \text{X}_4, \text{X}_5, \text{X}_6, \text{X}_7$,
Saída: 32-bit data $\text{Y}_0, \text{Y}_1, \text{Y}_2, \text{Y}_3, \text{Y}_4, \text{Y}_5, \text{Y}_6, \text{Y}_7$

Passo 1. $T_0 \mid T_1 \mid \dots \mid T_7 \leftarrow X_0 \mid X_1 \mid \dots \mid X_7$

Passo 2. Para $i = 0$ até $r - 1$ faça:

Passo 2.1. $T_1 \leftarrow T_1 \oplus F_0(\text{RK}_{4i}, T_0)$,
 $T_3 \leftarrow T_3 \oplus F_1(\text{RK}_{4i+1}, T_2)$,
 $T_5 \leftarrow T_5 \oplus F_0(\text{RK}_{4i+2}, T_4)$,
 $T_7 \leftarrow T_7 \oplus F_1(\text{RK}_{4i+3}, T_6)$

Passo 2.2. $T_0 \mid T_1 \mid \dots \mid T_6 \mid T_7 \leftarrow T_1 \mid T_2 \mid \dots \mid T_7 \mid T_0$

Passo 3. $\text{Y}_0 \mid \text{Y}_1 \mid \dots \mid \text{Y}_6 \mid \text{Y}_7 \leftarrow T_7 \mid T_0 \mid \dots \mid T_5 \mid T_6$

Generalized Feistel Network 4-branch inversa

GFNINV_{4,r}($RK_0, \dots, RK_{2r-1}, X_0, X_1, X_2, X_3$)

Entrada: 32-bit round keys RK_0, \dots, RK_{2r-1} ,
32-bit data X_0, X_1, X_2, X_3 ,

Saída: 32-bit data Y_0, Y_1, Y_2, Y_3

Passo 1. $T_0 \mid T_1 \mid T_2 \mid T_3 \leftarrow X_0 \mid X_1 \mid X_2 \mid X_3$

Passo 2. Para $i = 0$ até $r - 1$ faça:

Passo 2.1. $T_1 \leftarrow T_1 \oplus F0(RK_{2(r-i)}, T_0)$,

$T_3 \leftarrow T_3 \oplus F1(RK_{2(r-i)}, T_2)$

Passo 2.2. $T_0 \mid T_1 \mid T_2 \mid T_3 \leftarrow T_3 \mid T_0 \mid T_1 \mid T_2$

Passo 3. $Y_0 \mid Y_1 \mid Y_2 \mid Y_3 \leftarrow T_1 \mid T_2 \mid T_3 \mid T_0$

Função F0

F0(RK, x)

Entrada : 32-bit round key RK, 32-bit data x,

Saída: 32-bit data y

Passo 1. $T \leftarrow RK \oplus x$

Passo 2. Let $T = T_0 \mid T_1 \mid T_2 \mid T_3$, com T_i de 8-bits,

$T_0 \leftarrow S0(T_0),$

$T_1 \leftarrow S1(T_1),$

$T_2 \leftarrow S0(T_2),$

x

Passo 3. Let $y = y_0 \mid y_1 \mid y_2 \mid y_3$, com y_i de 8-bits,

$y \leftarrow M0trans((T_0, T_1, T_2, T_3))$

Função F1

F1(RK, x)

Entrada : 32-bit round key RK, 32-bit data x,

Saída: 32-bit data y

Passo 1. $T \leftarrow RK \oplus x$

Passo 2. Let $T = T_0 \mid T_1 \mid T_2 \mid T_3$, com T_i de 8-bits,

$T_0 \leftarrow S1(T_0),$

$T_1 \leftarrow S0(T_1),$

$T_2 \leftarrow S1(T_2),$

$T_3 \leftarrow S0(T_3)$

Passo 3. Let $y = y_0 \mid y_1 \mid y_2 \mid y_3$, com y_i de 8-bits,

$y \leftarrow M1trans((T_0, T_1, T_2, T_3))$

S-box S0

| | .0 | .1 | .2 | .3 | .4 | .5 | .6 | .7 | .8 | .9 | .a | .b | .c | .d | .e | .f |
|----|----|----|----|----|----|----|----|----|----|----|----|----|----|----|----|----|
| 0. | 57 | 49 | d1 | c6 | 2f | 33 | 74 | fb | 95 | 6d | 82 | ea | 0e | b0 | a8 | 1c |
| 1. | 28 | d0 | 4b | 92 | 5c | ee | 85 | b1 | c4 | 0a | 76 | 3d | 63 | f9 | 17 | af |
| 2. | bf | a1 | 19 | 65 | f7 | 7a | 32 | 20 | 06 | ce | e4 | 83 | 9d | 5b | 4c | d8 |
| 3. | 42 | 5d | 2e | e8 | d4 | 9b | 0f | 13 | 3c | 89 | 67 | c0 | 71 | aa | b6 | f5 |
| 4. | a4 | be | fd | 8c | 12 | 00 | 97 | da | 78 | e1 | cf | 6b | 39 | 43 | 55 | 26 |
| 5. | 30 | 98 | cc | dd | eb | 54 | b3 | 8f | 4e | 16 | fa | 22 | a5 | 77 | 09 | 61 |
| 6. | d6 | 2a | 53 | 37 | 45 | c1 | 6c | ae | ef | 70 | 08 | 99 | 8b | 1d | f2 | b4 |
| 7. | e9 | c7 | 9f | 4a | 31 | 25 | fe | 7c | d3 | a2 | bd | 56 | 14 | 88 | 60 | 0b |
| 8. | cd | e2 | 34 | 50 | 9e | dc | 11 | 05 | 2b | b7 | a9 | 48 | ff | 66 | 8a | 73 |
| 9. | 03 | 75 | 86 | f1 | 6a | a7 | 40 | c2 | b9 | 2c | db | 1f | 58 | 94 | 3e | ed |
| a. | fc | 1b | a0 | 04 | b8 | 8d | e6 | 59 | 62 | 93 | 35 | 7e | ca | 21 | df | 47 |
| b. | 15 | f3 | ba | 7f | a6 | 69 | c8 | 4d | 87 | 3b | 9c | 01 | e0 | de | 24 | 52 |
| c. | 7b | 0c | 68 | 1e | 80 | b2 | 5a | e7 | ad | d5 | 23 | f4 | 46 | 3f | 91 | c9 |
| d. | 6e | 84 | 72 | bb | 0d | 18 | d9 | 96 | f0 | 5f | 41 | ac | 27 | c5 | e3 | 3a |
| e. | 81 | 6f | 07 | a3 | 79 | f6 | 2d | 38 | 1a | 44 | 5e | b5 | d2 | ec | cb | 90 |
| f. | 9a | 36 | e5 | 29 | c3 | 4f | ab | 64 | 51 | f8 | 10 | d7 | bc | 02 | 7d | 8e |

S-box S1

| | .0 | .1 | .2 | .3 | .4 | .5 | .6 | .7 | .8 | .9 | .a | .b | .c | .d | .e | .f |
|----|----|----|----|----|----|----|----|----|----|----|----|----|----|----|----|----|
| 0. | 6c | da | c3 | e9 | 4e | 9d | 0a | 3d | b8 | 36 | b4 | 38 | 13 | 34 | 0c | d9 |
| 1. | bf | 74 | 94 | 8f | b7 | 9c | e5 | dc | 9e | 07 | 49 | 4f | 98 | 2c | b0 | 93 |
| 2. | 12 | eb | cd | b3 | 92 | e7 | 41 | 60 | e3 | 21 | 27 | 3b | e6 | 19 | d2 | 0e |
| 3. | 91 | 11 | c7 | 3f | 2a | 8e | a1 | bc | 2b | c8 | c5 | 0f | 5b | f3 | 87 | 8b |
| 4. | fb | f5 | de | 20 | c6 | a7 | 84 | ce | d8 | 65 | 51 | c9 | a4 | ef | 43 | 53 |
| 5. | 25 | 5d | 9b | 31 | e8 | 3e | 0d | d7 | 80 | ff | 69 | 8a | ba | 0b | 73 | 5c |
| 6. | 6e | 54 | 15 | 62 | f6 | 35 | 30 | 52 | a3 | 16 | d3 | 28 | 32 | fa | aa | 5e |
| 7. | cf | ea | ed | 78 | 33 | 58 | 09 | 7b | 63 | c0 | c1 | 46 | 1e | df | a9 | 99 |
| 8. | 55 | 04 | c4 | 86 | 39 | 77 | 82 | ec | 40 | 18 | 90 | 97 | 59 | dd | 83 | 1f |
| 9. | 9a | 37 | 06 | 24 | 64 | 7c | a5 | 56 | 48 | 08 | 85 | d0 | 61 | 26 | ca | 6f |
| a. | 7e | 6a | b6 | 71 | a0 | 70 | 05 | d1 | 45 | 8c | 23 | 1c | f0 | ee | 89 | ad |
| b. | 7a | 4b | c2 | 2f | db | 5a | 4d | 76 | 67 | 17 | 2d | f4 | cb | b1 | 4a | a8 |
| c. | b5 | 22 | 47 | 3a | d5 | 10 | 4c | 72 | cc | 00 | f9 | e0 | fd | e2 | fe | ae |
| d. | f8 | 5f | ab | f1 | 1b | 42 | 81 | d6 | be | 44 | 29 | a6 | 57 | b9 | af | f2 |
| e. | d4 | 75 | 66 | bb | 68 | 9f | 50 | 02 | 01 | 3c | 7f | 8d | 1a | 88 | bd | ac |
| f. | f7 | e4 | 79 | 96 | a2 | fc | 6d | b2 | 6b | 03 | e1 | 2e | 7d | 14 | 95 | 1d |

Matrizes de Difusão M0

- ▶ O sinal $*$ indica multiplicação em $GF(2^8)$ onde o polinômio primitivo é $z^8 + z^4 + z^3 + z^2 + 1$.

$y = M0 \text{ trans}((T_0, T_1, T_2, T_3))$:

$$\begin{aligned} y_0 &= T_0 \oplus (0x02 * T_1) \oplus (0x04 * T_2) \oplus (0x06 * T_3) \\ y_1 &= (0x02 * T_0) \oplus T_1 \oplus (0x06 * T_2) \oplus (0x04 * T_3) \\ y_2 &= (0x04 * T_0) \oplus (0x06 * T_1) \oplus T_2 \oplus (0x02 * T_3) \\ y_3 &= (0x06 * T_0) \oplus (0x04 * T_1) \oplus (0x02 * T_2) \oplus T_3 \end{aligned}$$

Matrizes de Difusão M1

$y = M1 \text{ trans}((T_0, T_1, T_2, T_3))$:

$$\begin{array}{lclclclcl} y_0 = & T_0 & \oplus & (0x08 * T_1) & \oplus & (0x02 * T_2) & \oplus & (0x0a * T_3) \\ y_1 = & (0x08 * T_0) & \oplus & T_1 & \oplus & (0x0a * T_2) & \oplus & (0x02 * T_3) \\ y_2 = & (0x02 * T_0) & \oplus & (0x0a * T_1) & \oplus & T_2 & \oplus & (0x08 * T_3) \\ y_3 = & (0x0a * T_0) & \oplus & (0x02 * T_1) & \oplus & (0x08 * T_2) & \oplus & T_3 \end{array}$$

Algoritmo de encriptação

Entrada: bloco plain : $P = \{P_0, P_1, P_2, P_3\}$
numero de rounds : r tem 32 bits
rounds keys : $RK = \{RK_0, \dots, RK_{2r-1}\}$
whitening keys : $WK = \{WK_0, WK_1, WK_2, WK_3\}$
Saída: bloco cifrado : $C = \{C_0, C_1, C_2, C_3\}$

Passo 1. $T_0 \mid T_1 \mid T_2 \mid T_3 \leftarrow P_0 \mid (P_1 \oplus WK_0) \mid P_2 \mid (P_3 \oplus WK_1)$
Passo 2. $T_0 \mid T_1 \mid T_2 \mid T_3 \leftarrow GFN_{4,r}(RK_0, \dots, RK_{2r-1}, T_0, T_1, T_2, T_3)$
Passo 3. $C_0 \mid C_1 \mid C_2 \mid C_3 \leftarrow T_0 \mid (T_1 \oplus WK_2) \mid T_2 \mid (T_3 \oplus WK_3)$

Algoritmo de descriptação

Entrada: bloco plain : $C = \{C_0, C_1, C_2, C_3\}$
numero de rounds : r tem 32 bits
rounds keys : $RK = \{RK_0, \dots, RK_{2r-1}\}$
whitening keys : $WK = \{WK_0, WK_1, WK_2, WK_3\}$
Saída: bloco cifrado : $P = \{P_0, P_1, P_2, P_3\}$

Passo 1. $T_0 \mid T_1 \mid T_2 \mid T_3 \leftarrow C_0 \mid (C_1 \oplus WK_2) \mid C_2 \mid (C_3 \oplus WK_3)$

Passo 2. $T_0 \mid T_1 \mid T_2 \mid T_3 \leftarrow GFNINV_{4,r}(RK_0, \dots, RK_{2r-1}, T_0, T_1, T_2, T_3)$

Passo 3. $P_0 \mid P_1 \mid P_2 \mid P_3 \leftarrow T_0 \mid (T_1 \oplus WK_0) \mid T_2 \mid (T_3 \oplus WK_1)$

Geração das chaves

- ▶ Agora apresentaremos como são geradas as rounds keys e whitening keys usadas para encriptar e desencriptar.
- ▶ Essas chaves são geradas a partir da chave K, com os seguintes passos:
- ▶ Gera L a partir de K
- ▶ Expande K e L, gerando WK e RK
- ▶ Para gerar L a partir de K, é usado um 4-branch GFN com 12 rounds se K for de 128 bits, ou é usado um 8-branch GFN com 10 rounds se K for de 192 ou 256 bits.

Função de dupla Troca (SIGMA)

$$\begin{aligned} Y &= \text{Sigma}(X) \\ &= X[7-63] \mid X[121 - 127] \mid X[0 - 6] \mid X[64 - 120] \end{aligned}$$

Geração de chaves para o modo 128 bits

Entrada: chave : $K = \{k_0, k_1, K_2, k_3\}$
Saida: rounds keys : $RK = \{RK_0, \dots, RK_{35}\}$
whitening keys : $WK = \{WK_0, WK_1, WK_2, WK_3\}$

Passo 1. $L \leftarrow GFN_{4,12}(CON_{128}\{0\}, \dots, CON_{128}\{23\}, K_0, \dots, K_3)$

Passo 2. $WK_0 \mid WK_1 \mid WK_2 \mid WK_3 \leftarrow K$

Passo 3. For $i = 0$ to 8 do the following:

$T \leftarrow L \oplus (CON_{128}[24 + 4i] \mid CON_{128}[24 + 4i + 1] \mid CON_{128}[24 +$

$L \leftarrow \text{Sigma}(L)$

if i is odd: $T \leftarrow T \oplus K$

$RK_{4i} \mid RK_{4i+1} \mid RK_{4i+2} \mid RK_{4i+3} \leftarrow T$

Geração de chaves para o modo 192 e 256 bits

Entrada para $K = 192$:

chave : $k = \{k_0, k_1, k_2, k_3, k_4, k_5\}$

Saida para $K = 192$:

rounds keys : $RK = \{RK_0, \dots, RK_{43}\}$

whitening keys : $WK = \{WK_0, WK_1, WK_2, WK_3\}$

Entrada para $K = 256$:

chave : $k = \{k_0, k_1, k_2, k_3, k_4, k_5, k_6, k_7\}$

Saida para $k = 256$:

rounds keys : $RK = \{RK_0, \dots, RK_{51}\}$

whitening keys : $WK = \{WK_0, WK_1, WK_2, WK_3\}$

Passo 1.

$k = 192$ ou $k = 256$

Passo 2.

If $k = 192$:

else if $k = 256$:

Geração de chaves para o modo 192 e 256 bits

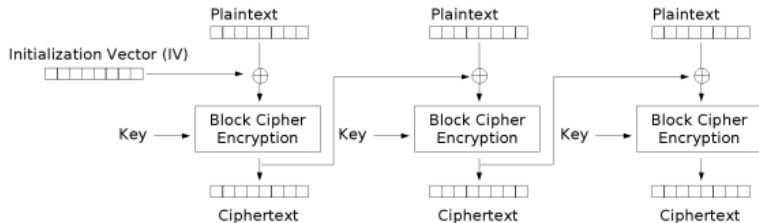
- Passo 3.** Let $KL = KL0 \mid KL1 \mid KL2 \mid KL3$
 $KR = KR0 \mid KR1 \mid KR2 \mid KR3$
 $LL \mid LR \leftarrow GFN_{8,10}(CON_k\{0\}, \dots, CON_k\{39\}, KL0, \dots, KL3, K$
- Passo 4.** $WK0 \mid WK1 \mid WK2 \mid WK3 \leftarrow KL \oplus KR$
- Passo 5.** For $i = 0$ to 10 (if $k = 192$),
or 12 (if $k = 256$) do the following:
If $(i \bmod 4) = 0$ or 1:
 $T \leftarrow LL \oplus (CON_k[40 + 4i] \mid CON_k[40 + 4i + 1] \mid CON_k[40 + 4i + 2] \mid CON_k[40 + 4i + 3])$
 $LL \leftarrow \text{Sigma}(LL)$
if i is odd:
 $T \leftarrow T \oplus KR$
else:
 $T \leftarrow LR \oplus (CON_k[40 + 4i] \mid CON_k[40 + 4i + 1] \mid CON_k[40 + 4i + 2] \mid CON_k[40 + 4i + 3])$
 $LR \leftarrow \text{Sigma}(LR)$
if i is odd: $T \leftarrow T \oplus KL$

$$RK_{4i} \mid RK_{4i+1} \mid RK_{4i+2} \mid RK_{4i+3} \leftarrow T$$

Modo de operação CBC

- ▶ Como CLEFIA é um cifrador de blocos de comprimento fixo, é necessário utilizar um modo de operação para que cifre mensagens de qualquer comprimento
- ▶ Para realizar testes cifrando mensagens longas, foi necessário implementar um modo de operação
- ▶ Optamos pelo CBC, devido a sua simplicidade tanto para encriptar quanto para desencriptar.
- ▶ CBC é bastante utilizado, tendo inclusive na biblioteca openssl com o cifrador AES.

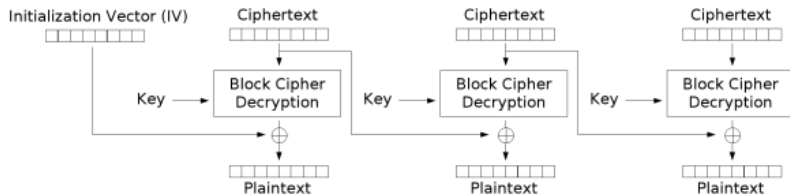
Modo de Operação CBC



Cipher Block Chaining (CBC) mode encryption

Figura: Cifragem no modo CBC

Modo de Operação CBC



Cipher Block Chaining (CBC) mode decryption

Figura: Decifragem no modo CBC

Resultados experimentais

- ▶ Com o intuito de comparar o algoritmo Clefia com o AES, fizemos vários testes de cifragem e decifragem. Os tempos obtidos aparecem nas tabelas abaixo
- ▶ É óbvio que a implementação do AES da biblioteca OpenSSL é muito rápida, já que o código aberto vem sendo testado e otimizado há bastante tempo
- ▶ Nosso código, por outro lado, foi escrito por duas pessoas apenas e sem o tempo necessário para fazer otimizações mais profundas no código
- ▶ Apesar disso, a primeira implementação era 10% mais lenta. O que fizemos para acelerar um pouco a execução foram pequenas otimizações de código, como *loop unrolling* de alguns laços e trocar funções por macros, que são substituídas em tempo de compilação. Acreditamos que com mais tempo e mais otimizações poderíamos diminuir drasticamente os tempos apresentados

Resultados experimentais

- O arquivo cifrado é uma imagem de uma distribuição

Linux, de 200278016 bytes.

| Cifrar | AES-128 (s) | Clelia-128 (s) |
|---------------|-------------|----------------|
| Teste 1 | 1.996 | 31.778 |
| Teste 2 | 1.933 | 31.783 |
| Teste 3 | 2.030 | 31.773 |
| Teste 4 | 1.933 | 31.782 |
| Teste 5 | 2.026 | 31.782 |
| Teste 6 | 2.059 | 31.786 |
| Teste 7 | 2.078 | 31.791 |
| Teste 8 | 2.124 | 31.785 |
| Teste 9 | 1.948 | 31.904 |
| Teste 10 | 1.981 | 31.775 |
| Média | 2.0108 | 31.7939 |
| Desvio Padrão | 0.0644 | 0.0390 |

Resultados experimentais

| Decifrar | AES-128 (s) | Clefi-128 (s) |
|---------------|-------------|---------------|
| Teste 1 | 2.081 | 33.233 |
| Teste 2 | 2.025 | 33.256 |
| Teste 3 | 2.059 | 33.261 |
| Teste 4 | 2.065 | 33.236 |
| Teste 5 | 2.051 | 33.268 |
| Teste 6 | 2.021 | 33.499 |
| Teste 7 | 2.044 | 33.13 |
| Teste 8 | 2.029 | 33.034 |
| Teste 9 | 2.034 | 33.335 |
| Teste 10 | 2.049 | 33.243 |
| Média | 2.0458 | 33.2495 |
| Desvio Padrão | 0.0191 | 0.1207 |

Referências

www.faqs.org/rfcs/rfc6114.html#

www.sony.net/Products/cryptography/clefiat/?j-short=clefiat

www.sony.net/Products/cryptography/clefiat/download/data/clefiat-d

William Stallings - Cryptography and Network Security,
4th Edition